

可以根据需求访问不同分辨率的影像数据，系统自动根据 GeoSOT 编码检索并返回匹配的影像瓦片。

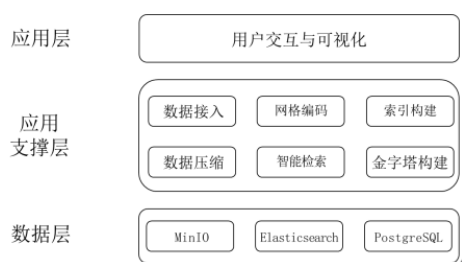


图 1 系统架构图

4.2.4 元数据管理与智能检索

系统基于 Elasticsearch 构建影像数据的元数据索引和检索引擎。用户可以通过关键字、时间、空间位置等多维度进行影像检索。同时，智能检索模块支持基于图像或文本的语义检索。

4.2.5 影像智能存储与动态管理

影像数据存储过程中，系统根据数据访问频率动态调整存储策略。热点区域的影像数据采用较低的压缩比，确保访问速度；冷门区域的影像则采用较高压缩比，减少存储空间占用。

4.2.6 用户交互与可视化展示

系统提供了基于 Cesium 的高效三维可视化展示功能，支持用户在 Web 端浏览影像数据。用户可以通过拖动、缩放等操作快速加载不同分辨率的影像瓦片，系统根据用户的操作自动调整影像瓦片的加载顺序和优先级。

4.3 关键技术与策略

4.3.1 基于网格编码的分布式存储

系统采用 MinIO 作为对象存储底座。影像瓦片文件的名称基于其 GeoSOT 编码生成。系统可以根据编码的前缀（代表较大范围的区域）自动将瓦片分布到不同的 MinIO 服务器。为了支持 Web 端的快速缩放浏览，系统为原始影像构建金字塔。其过程与 GeoSOT 网格紧密结合，当用户前端请求某区域某层级的影像时，系统将该请求转换为对应层级的 GeoSOT 编码查询，快速定位并返回所需的瓦片。

4.3.2 多级融合索引机制

建立三级融合索引：一级索引为倒排索引；二级索引为时空编码索引；三级索引为语义向量索引。这三级索引并非孤立，而是可通过 Elasticsearch 的布尔查询进行灵活组合，实现例如“查找 2023 年北京地区（空间+时间）的 Landsat 影像（属性）中包含农田（语义）的区域”这样的复杂多模态检索。

4.3.3 基于访问热度的动态存储管理

为解决空间数据访问存在严重的空间不均衡性问题，系统通过监控数据访问日志，识别出高频访问的“热点”网格编码；对于热点数据，①在多个存储节点上创建副本，②采用更低压缩比或无损压缩，系统通过持续分析数据访问模式，实现存储策略的动态调整。而这些策略的基础都在于基

于网格编码的数据“空-时”存储机制。

5 原型系统试验

为了验证原型系统的性能，项目组进行了多项测试，涵盖了影像数据的存储效率、检索速度、加载时间以及系统的扩展能力。以下是部分实验结果：

5.1 存储效率

无损压缩的影像数据平均压缩率为 25%，有损压缩的影像数据平均压缩率达到了 70%。通过分布式存储架构，系统的存储效率显著提升，能够支持 PB 级别的影像数据存储。

5.2 检索速度

基于倒排索引和时空编码的双重索引机制，系统的影像检索响应时间保持在 1 秒以内，满足了大规模数据的快速查询需求。

5.3 加载时间

影像金字塔技术显著提高了影像的加载速度。尤其是在在线浏览和实时处理场景中效果更加显著。

5.4 扩展能力

系统通过分布式存储和并行计算架构，具备良好的扩展能力。

6 结论与展望

本研究针对海量遥感影像数据管理难题，提出了一套基于剖分网格编码的遥感影像数据存储与检索解决方案。其主要贡献包括：（1）基于网格编码的遥感影像数据组织模型，设计并实现了一个高性能、可扩展的分布式系统架构，结合了 MinIO 对象存储的海量非结构化数据存储能力与 Elasticsearch 强大的多模态检索能力；（2）创新性地构建了基于网格编码的多级融合索引机制：将时空编码索引、倒排索引和语义向量索引有机融合，实现了支持空间、时间、属性和语义的真正意义上的“智能检索”。

未来工作将从以下几个方面展开：首先，探索更高效的自适应网格粒度选择算法，以更优的存储成本应对不同分辨率、不同应用场景的影像数据；其次，深入研究基于强化学习的动态数据布局优化策略，使系统能更精准地预测和响应数据访问模式的变化。

参考文献

- [1] 李国庆, 黄舟, 陈崇成. 大型遥感影像数据库管理系统关键技术[J]. 计算机研究与发展, 2005, 42(5): 899-905.
- [2] Shvachko K, Kuang H, Radia S, et al. The hadoop distributed file system[C]//2010 IEEE 26th symposium on mass storage systems and technologies (MSST). IEEE, 2010: 1-10.
- [3] Guttman A. R-trees: a dynamic index structure for spatial searching[M]. ACM, 1984.
- [4] 龚健雅, 陈能成, 王伟, 等. 全球空间信息剖分组织框架与关键技术[J]. 地球信息科学学报, 2020, 22(1): 1-13.
- [5] 宋树华, 王勇, 程承旗, 等. 一种新型全球经纬度剖分网格编码模型及其生成方法[J]. 测绘学报, 2013, 42(3): 416-422.

Diverse Applications, Challenges, and Future Prospects of Facial Recognition Technology

Yiwen Wang

Zhongxin Yizhi Network College, Haikou Economic College, Haikou, Hainan, 571127, China

Abstract

As a crucial component of biometric authentication, facial recognition technology has been widely adopted across various sectors due to its efficiency and convenience. This paper explores practical implementations of facial recognition in security, finance, transportation, and other fields. It analyzes technical, privacy, and ethical challenges encountered during its development while projecting future trends, aiming to provide actionable insights for optimizing and rationally applying this technology.

Keywords

facial recognition technology; diverse applications; challenges; future prospects

人脸识别技术的多元应用、挑战与未来展望

王宜文

海口经济学院中芯依智网络学院, 中国·海南海口 571127

摘要

人脸识别技术作为生物识别领域的重要组成部分, 凭借其高效、便捷等特性, 在众多领域得到了广泛应用。本文深入探讨人脸识别技术在安防、金融、交通等多个领域的具体应用, 分析其在发展过程中面临的技术、隐私、伦理等方面的挑战, 并对未来发展趋势进行展望, 旨在为该技术的进一步优化与合理应用提供参考。

关键词

人脸识别技术; 多元应用; 挑战; 未来展望

1 引言

在数字化与智能化飞速发展的当下, 人脸识别技术作为生物识别领域的关键技术之一, 正以前所未有的速度融入现代社会的各个层面, 并随着人工智能、深度学习等技术的不断发展, 人脸识别技术的准确性和可靠性得到了极大提升, 其应用范围也在不断拓展, 深刻影响着人们的生活和社会的发展。

2 人脸识别技术原理

人脸识别技术是一种基于生物特征的身份识别技术, 其核心原理是通过计算机视觉和机器学习算法, 对人脸图像或视频中的人脸特征进行提取、分析和比对, 从而实现对人员身份的识别和验证。人脸识别技术的实现过程主要包括以

下几个关键步骤。

2.1 图像采集

利用摄像头、摄像机等图像采集设备, 获取包含人脸的图像或视频数据。这些设备可以安装在各种场景中, 如安防监控系统、门禁系统、移动设备等, 以满足不同应用场景的需求。随着技术的不断发展, 图像采集设备的性能不断提高, 能够在各种复杂环境下获取高质量的人脸图像, 为后续的人脸识别工作提供了良好的基础。

2.2 人脸检测

在采集到的图像或视频中, 定位人脸的位置, 并确定人脸的大小、姿态等信息。人脸检测是人脸识别的第一步, 其准确性和效率直接影响到后续的识别效果。目前, 常用的人脸检测算法包括基于 Haar 特征的级联分类器算法、基于深度学习的卷积神经网络算法等。基于 Haar 特征的级联分类器算法具有计算速度快的优点, 能够在实时性要求较高的场景中快速检测出人脸; 而基于深度学习的卷积神经网络算法则具有更高的检测准确率, 能够在复杂背景和多种姿态下准确检测出人脸。例如, 在一些安防监控系统中, 采用基于深度学习的人脸检测算法, 能够在大量的视频图像中快速准

【基金项目】基于科研项目: 2024 年海口经济学院校级科学研究项目 (项目编号: HJKY (YB) 24-25)。

【作者简介】王宜文 (1986-), 男, 黎族, 中国海南海口人, 硕士, 讲师, 从事计算机网络、系统集成研究。

确地检测出人脸，为后续的人脸识别和分析提供了可靠的数据支持。

2.3 特征提取

从检测到的人脸图像中，提取出能够代表人脸独特特征的信息，如眼睛、鼻子、嘴巴等面部器官的形状、大小、相对位置，以及面部的纹理、肤色等特征。这些特征是人脸识别的关键依据，其提取的准确性和稳定性对识别结果有着重要影响。早期的特征提取方法主要基于手工设计的特征，如尺度不变特征变换（SIFT）、加速稳健特征（SURF）等。这些方法在一定程度上能够提取出人脸的特征，但存在计算复杂、对光照和姿态变化敏感等问题。随着深度学习技术的发展，基于卷积神经网络的特征提取方法逐渐成为主流。这些方法能够自动学习人脸的特征表示，具有更强的鲁棒性和适应性，能够在不同的光照、姿态和表情条件下准确提取人脸特征。例如，FaceNet模型通过深度卷积神经网络，将人脸图像映射到一个高维的特征空间中，提取出的特征向量具有很强的鉴别能力，能够有效地区分不同的人脸。

2.4 特征匹配与识别

将提取到的待识别人员的人脸特征与预先存储在数据库中的已知人员的人脸特征进行比对，计算两者之间的相似度或距离。如果相似度超过预设的阈值，则认为匹配成功，识别出待识别人员的身份；否则，认为匹配失败，无法识别出身份。在特征匹配过程中，常用的算法包括欧氏距离、余弦相似度等。欧氏距离是一种常用的距离度量方法，通过计算两个特征向量之间的欧氏距离来衡量它们的相似度；余弦相似度则是通过计算两个特征向量之间的夹角余弦值来衡量它们的相似度。在实际应用中，根据不同的需求和场景，可以选择合适的特征匹配算法。例如，在门禁系统中，为了确保安全性，通常会设置较高的匹配阈值，只有当相似度非常高时才允许通过；而在一些人员检索场景中，为了提高检索效率，可以适当降低匹配阈值，以获取更多的候选结果。

以公安机关在追捕逃犯的实际应用场景为例，在城市的各个交通要道、公共场所等关键位置都部署了大量的摄像头，这些摄像头实时采集视频图像。当逃犯出现在摄像头的监控范围内时，系统首先通过人脸检测算法快速定位到逃犯的人脸位置，然后利用基于深度学习的特征提取算法提取出逃犯人脸的独特特征，形成特征向量。接着，系统将提取到的特征向量与预先存储在逃犯人脸数据库中的特征向量进行比对，计算两者之间的相似度。一旦相似度超过预设的阈值，系统就会立即发出警报，提示警方逃犯的出现位置，从而帮助警方快速锁定逃犯，提高追捕效率。

3 人脸识别技术的多元应用

3.1 安防领域

在安防领域，人脸识别技术发挥着至关重要的作用。

城市的公共安全监控系统中，大量摄像头配备了人脸识别功能。通过实时监测人群，系统能够快速识别出可疑人员、在逃犯等。例如，某城市在火车站、汽车站等人员密集场所安装了人脸识别监控设备，在一次追捕逃犯行动中，系统通过对监控画面的分析，迅速锁定了逃犯的位置，协助警方成功将其抓获，大大提高了社会治安防控能力。在智能门禁系统中，人脸识别技术取代了传统的门禁卡和密码，只有识别出授权人员的人脸，门禁才会开启，有效防止了陌生人的非法闯入，提升了场所的安全性。

3.2 金融领域

金融行业对身份验证的准确性和安全性要求极高，人脸识别技术为其提供了有力支持。在银行开户、远程转账、贷款申请等业务中，用户通过刷脸进行身份验证，极大地提高了业务办理的便捷性和安全性。以刷脸支付为例，消费者在购物时只需在支付终端前刷脸，即可完成支付，无需携带现金或银行卡。这种支付方式不仅方便快捷，还通过活体检测等技术手段，有效防止了盗刷风险。某支付平台推出的刷脸支付功能，在众多商家得到广泛应用，受到了消费者的青睐，推动了支付方式的创新发展。

3.3 交通领域

在机场、高铁站等交通枢纽，人脸识别技术已广泛应用于旅客身份验证、安检等环节。旅客在办理值机手续时，通过人脸识别设备快速验证身份，无需出示身份证等证件，节省了时间和人力成本。在安检过程中，人脸识别技术能够对旅客进行快速准确的身份比对，提高安检效率，保障旅客出行安全。一些城市的公交、地铁系统也开始尝试引入人脸识别支付，乘客刷脸即可乘车，为出行带来了极大便利，提升了公共交通的服务质量。

3.4 医疗领域

在医疗健康领域，人脸识别技术同样具有重要应用价值。医院通过人脸识别技术对患者身份进行快速验证，避免了患者身份信息错误导致的医疗事故。在一些大型医院，患者在挂号、就诊、取药等环节，只需刷脸即可完成身份确认，简化了就医流程，提高了医疗服务效率。此外，人脸识别技术还可用于医疗美容领域，医生通过对患者面部特征的识别和分析，为患者制定个性化的美容方案，提升医疗美容的精准度和效果。

3.5 教育领域

人脸识别技术在教育领域的应用也日益广泛。学校通过人脸识别系统对学生进行考勤管理，取代了传统的点名方式，提高了考勤的准确性和效率。在考试监考中，人脸识别技术能够有效防止替考现象的发生，确保考试的公平公正。一些学校还利用人脸识别技术对校园进行安全管理，只有识别出本校师生的人脸，才能进入校园，为师生营造了安全的学习和工作环境。